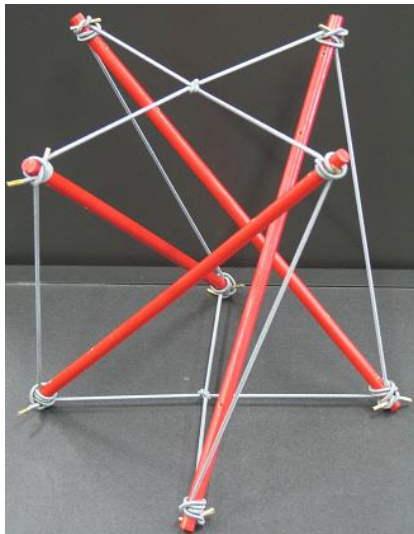


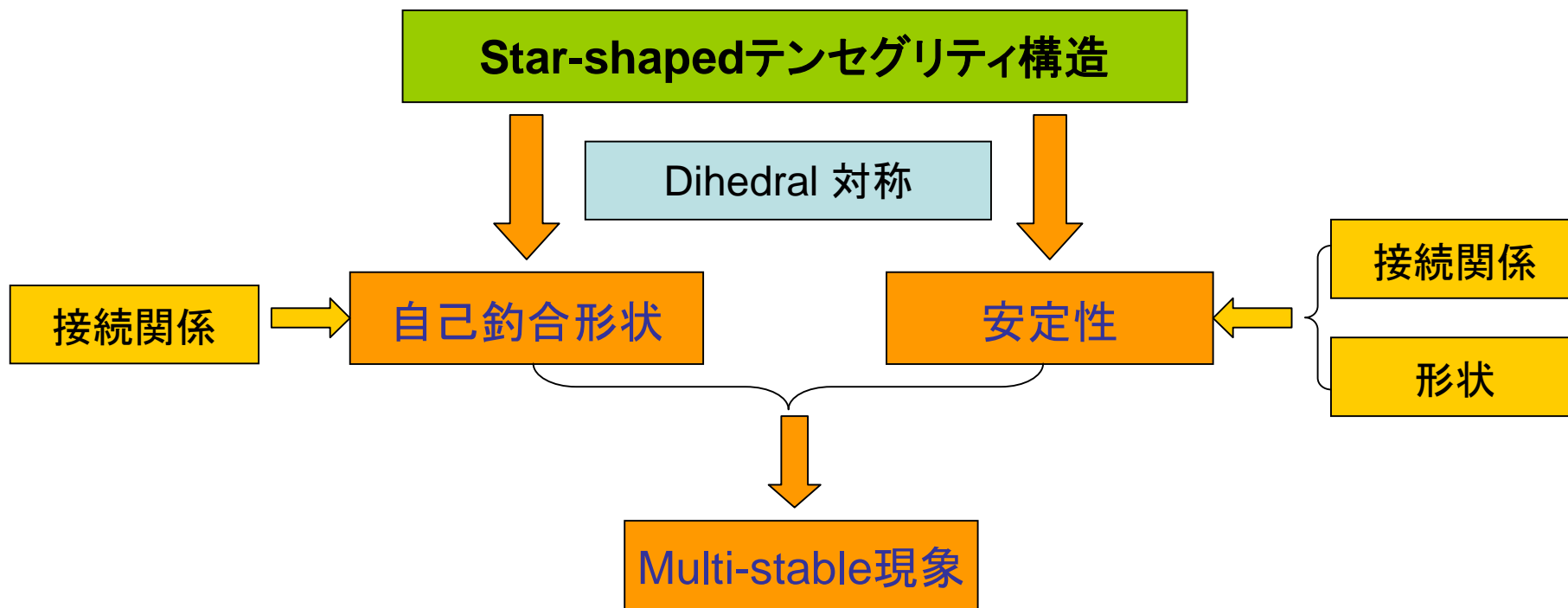
Multi-stable テンセグリティ構造物



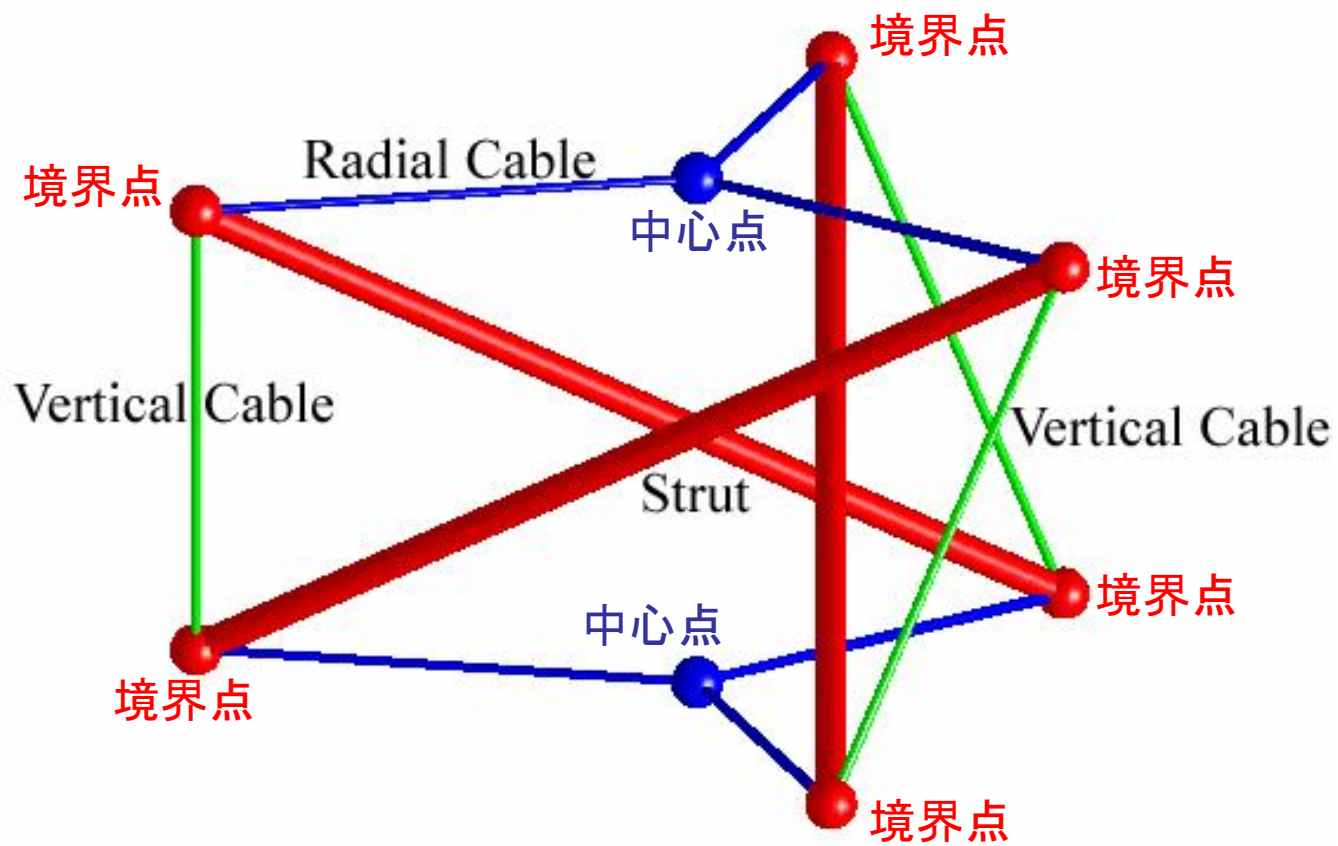
張 景耀
大崎 純
S.D. Guest

京都大学 建築学専攻





形状 D_n^v

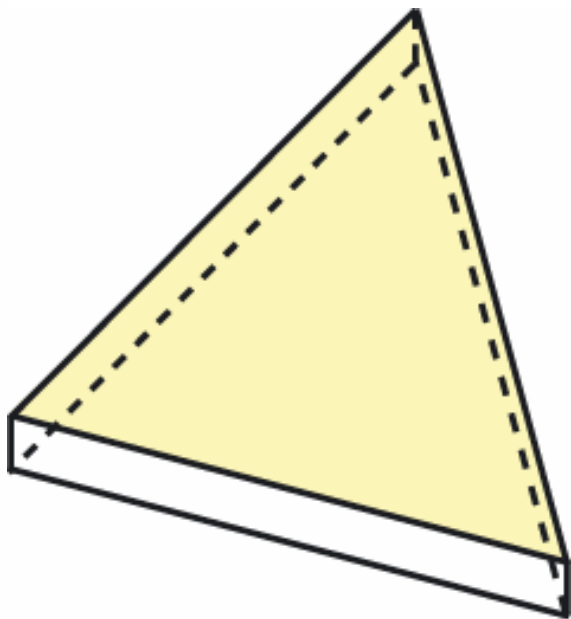


- 6 境界点
- 2 中心点
- 3 Struts
- 6 Radial
- 3 Vertical

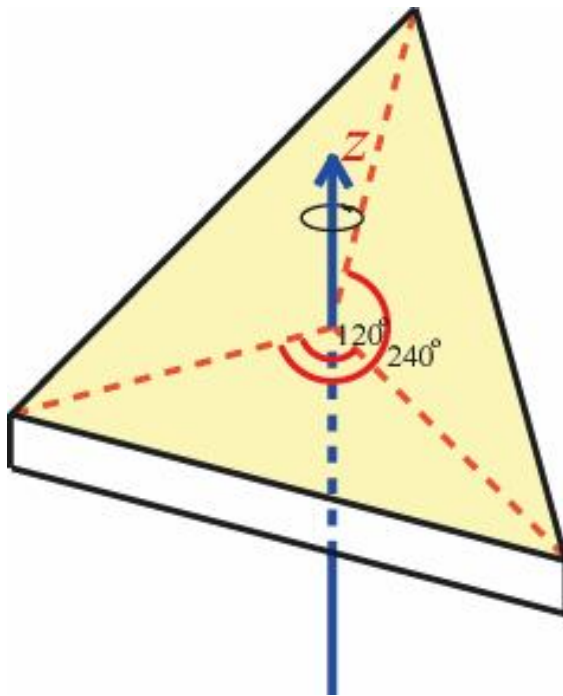
Star-shaped テンセグリティ構造 D_3^1

Dihedral对称 D_n^v

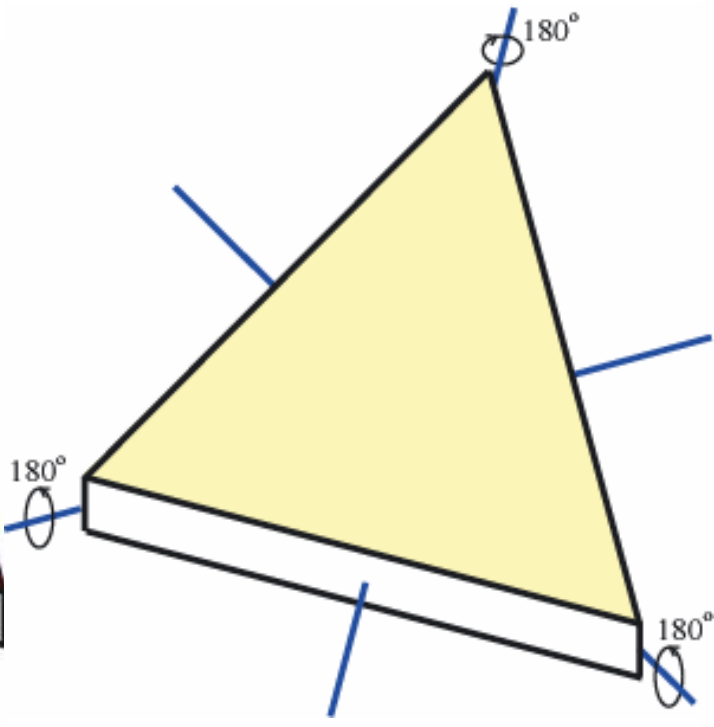
$n=3$



$E (C_3^0)$



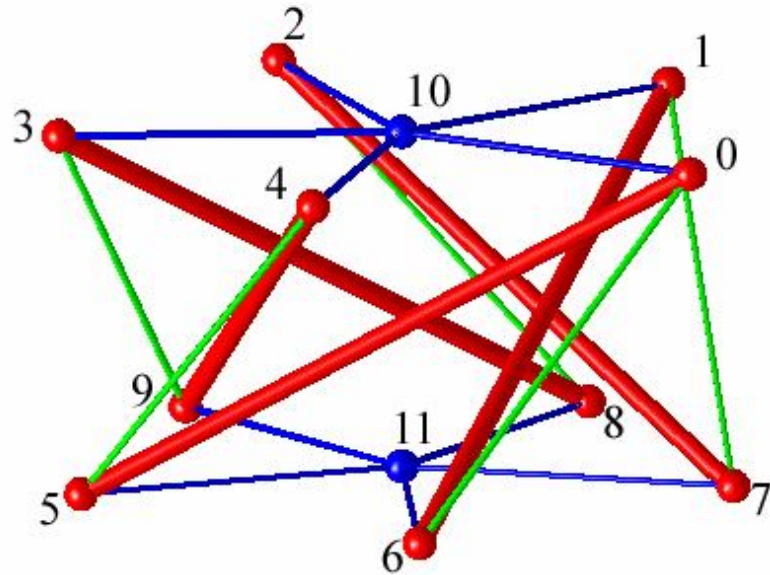
$C_3^1 C_3^2$



C_{21}, C_{22}, C_{23}

对称操作 (D_3)

接続関係 D_n^v



$n = 5$

境界点

上: 0, 1, 2, 3, 4(= $n-1$)

下: 5, 6, 7, 8, 9(= $2n-1$)

中心点

上: 10(= $2n$)

下: 11(= $2n+1$)

$v=1$

Strut

$$i \longleftrightarrow n+i \quad (i < n)$$

(0, 5); (1, 6); (2, 7); (3, 8); (4, 9)

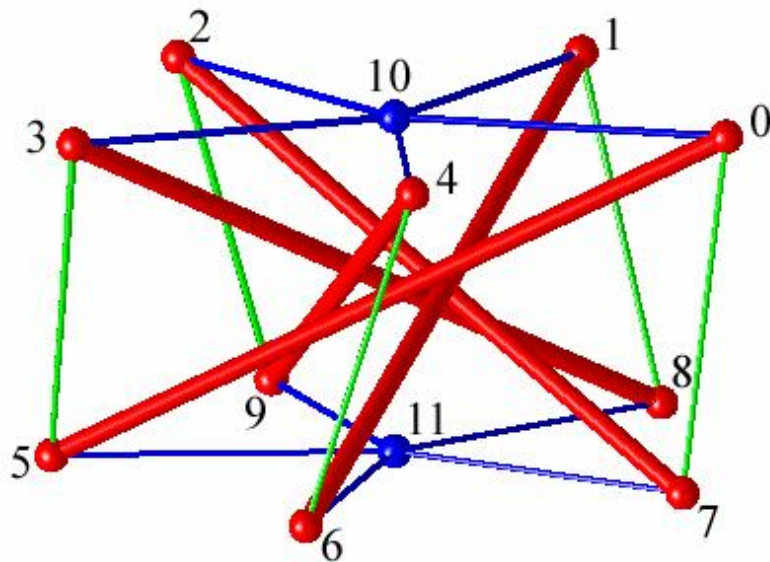
Radial

上: $i \longleftrightarrow 2n$

下: $n+i \longleftrightarrow 2n+1$

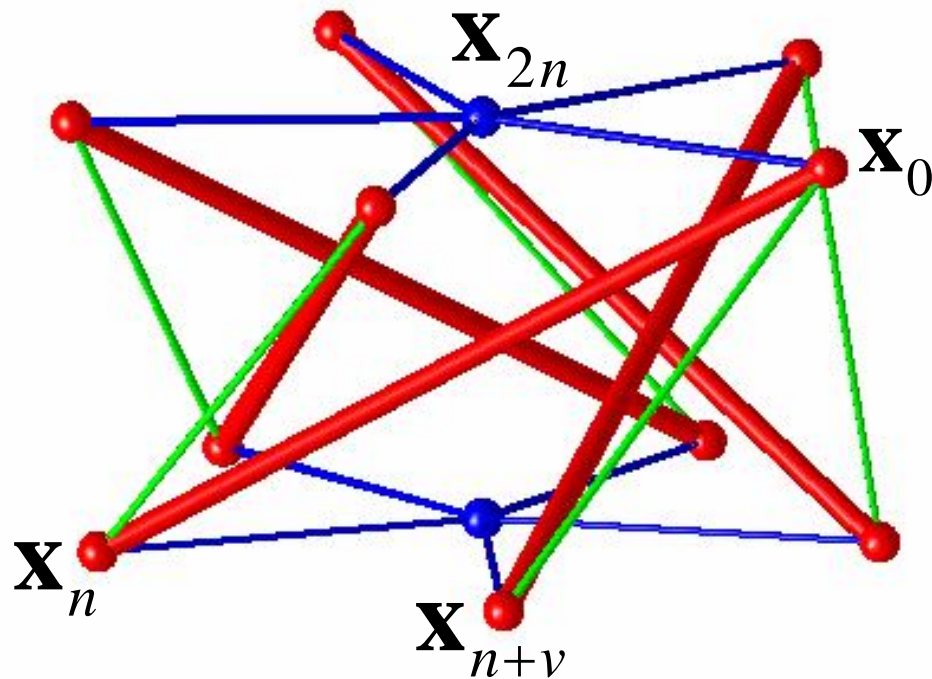
Vertical

$$i \longleftrightarrow n+v+i$$



$v=2$

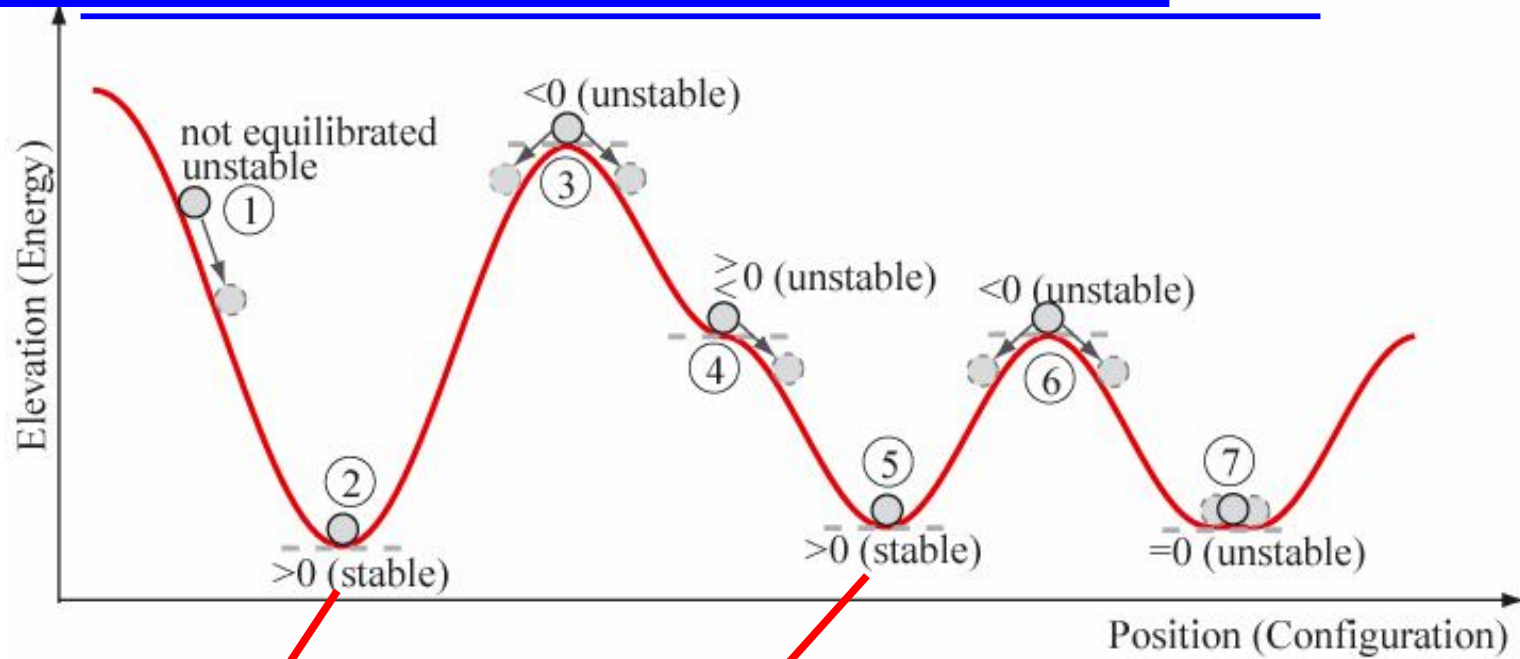
自己釣合形状



$$\mathbf{A}\mathbf{x}_0 = \mathbf{0} \xrightarrow{\text{A 特異}} \begin{cases} q_v / q_s = -1 \\ q_r / q_v = \sqrt{2(1 - \cos(2v\pi / n))} \end{cases} \quad (\text{Force density})$$

$$\mathbf{x}_0 \xrightarrow{\text{对称操作}} \mathbf{x}_1, \mathbf{x}_2, \dots, \mathbf{x}_i, \dots, \mathbf{x}_{2n-1}$$

安定条件



$$\mathbf{K} = \mathbf{K}^G + \mathbf{K}^E > 0$$

+∞ 線形剛性



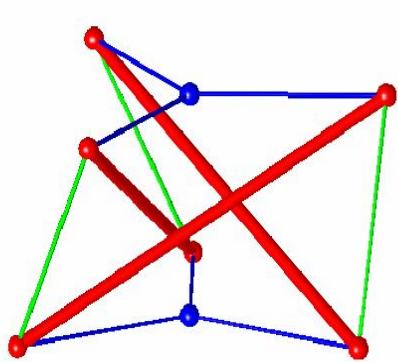
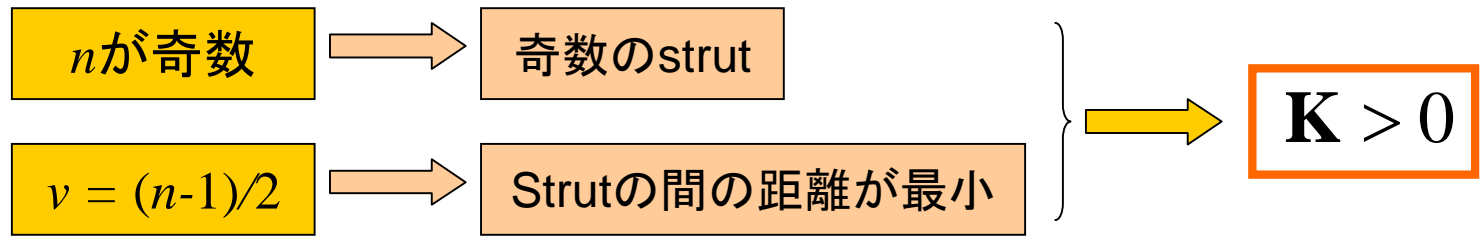
$$\mathbf{K}^E \rightarrow 0 \text{ or } +\infty$$



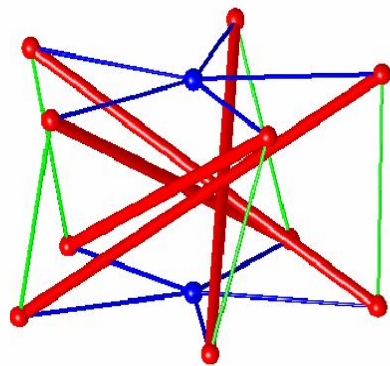
$$\mathbf{Q} = \mathbf{M}^T \mathbf{K}^G \mathbf{M} > 0$$

M ? mechanism

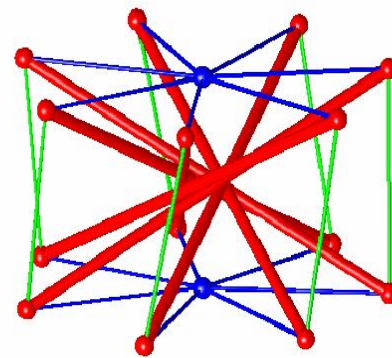
無条件的安定



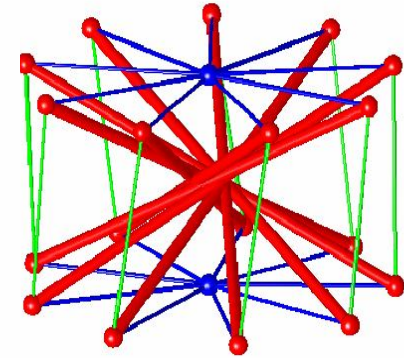
D₃¹



D₅²



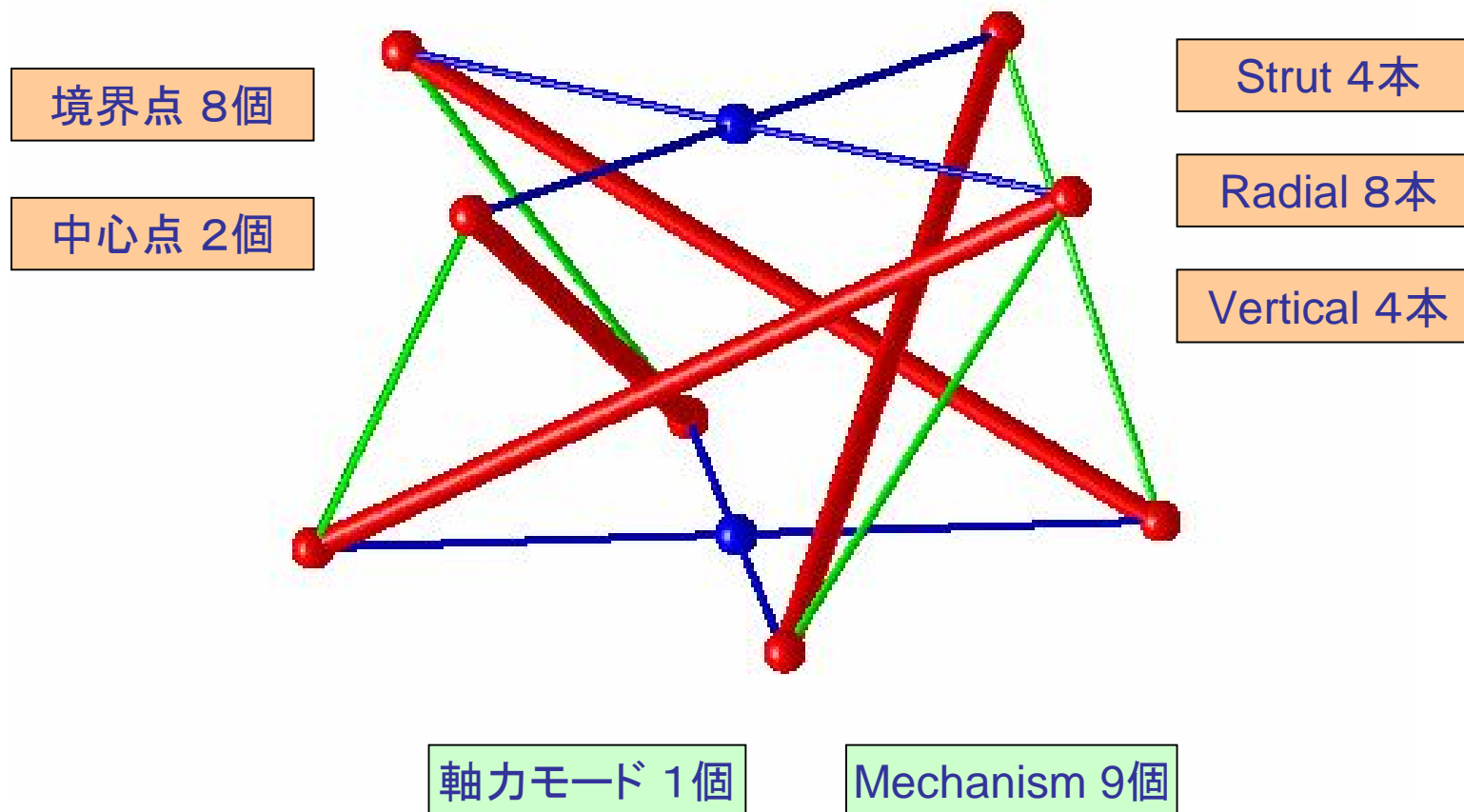
D₇³



D₉⁴

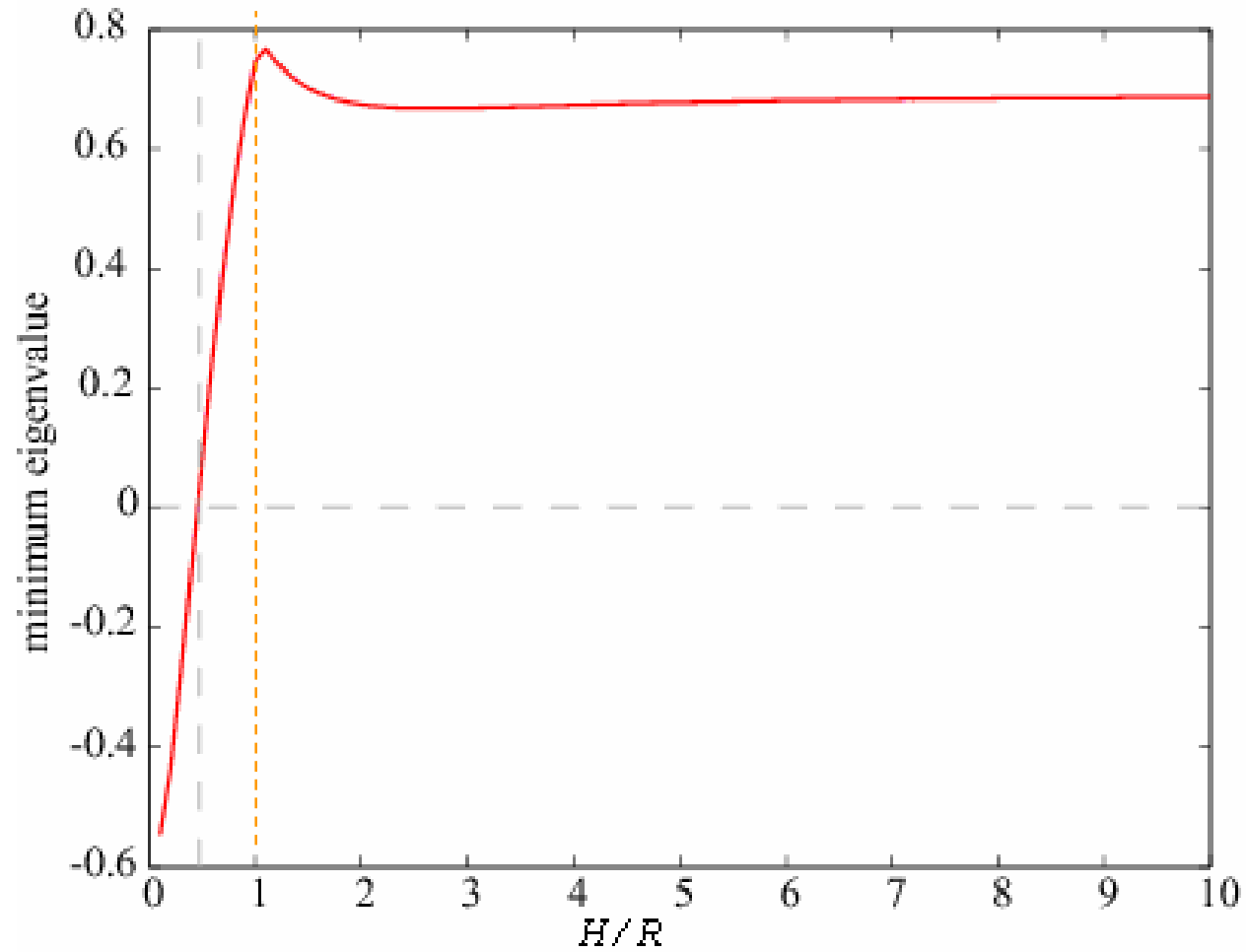
条件的安定の構造 D_4^1

9/14



D_4^1 の安定性と形状の関係

10/14

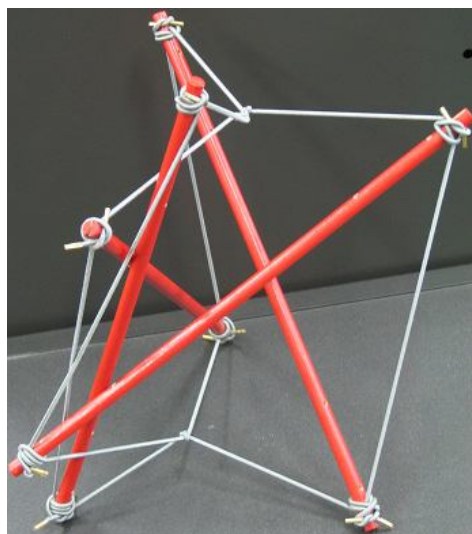
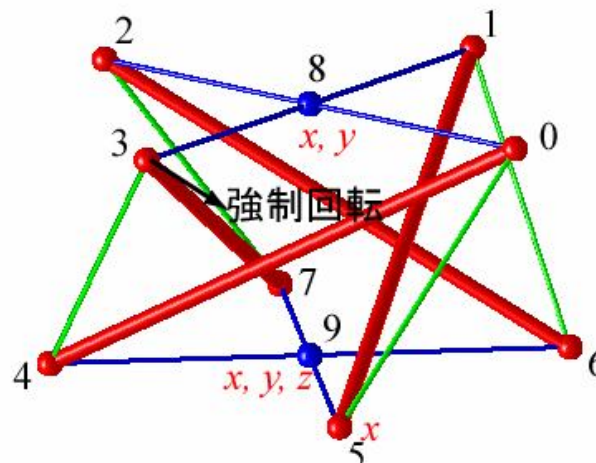


部材剛性が無限大

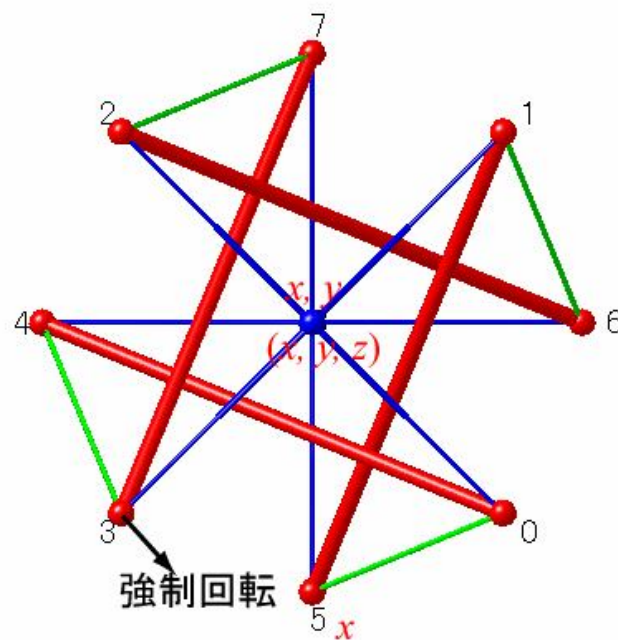
D_4^1 の安定形状



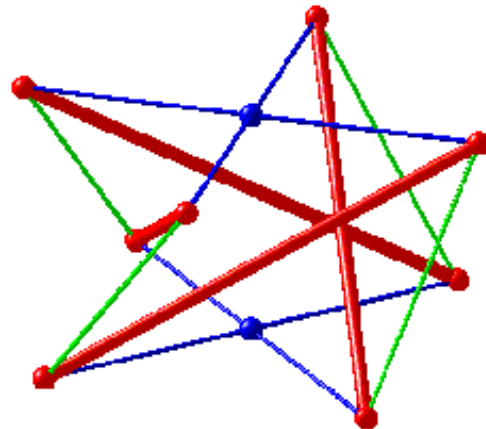
安定形状一



安定形状二

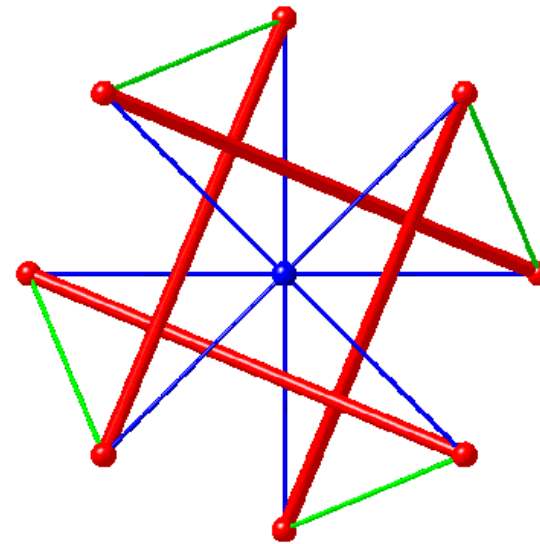


Multi-stable追跡



Side View

D_4^1



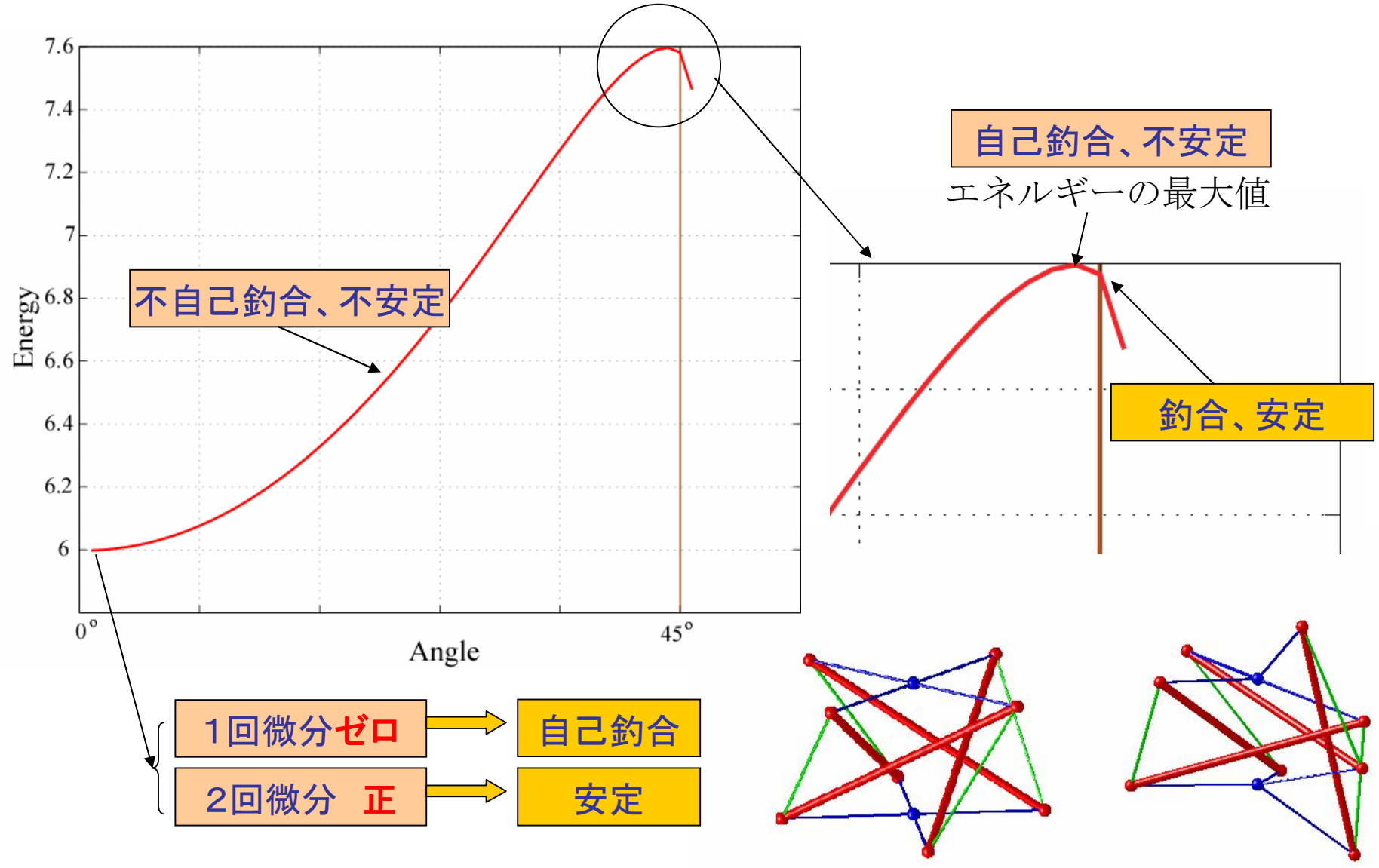
Top View

$H/R = 1.0$

Strutの線形剛性 $1.0E6$ N

Cableの線形剛性 $1.0E2$ N

ひずみエネルギー



Star-shaped Prismaticテンセグリティ構造

対称性

自己釣合形状

安定性

接続関係

Vertical Cable

形状

高さ / 半径

多数の安定形状の追跡

